

不搅乱泥炭の非排水せん断特性におよぼすひずみ速度の影響

防衛大学校 (学) ○団子 瞳夫
 (正) 山口 晴幸
 防衛施設庁 (正) 平井 啓友

1. はじめに

近年、泥炭地を地盤材料として利用する機会が増えて来ている。しかし、泥炭のせん断特性に関する研究は、粘性土や砂質土等の無機質土に比較して極めて少なく、基本的性質に関して不明な点が多く残されている。本報告は等方正規圧密した不搅乱泥炭試料を対象として、ひずみ制御による軸対称非排水三軸圧縮と伸張試験を実施し、泥炭の非排水せん断特性におよぼすひずみ速度の影響について実験的に調べた結果について記述する。

2. 試料と実験

埼玉県浦和市郊外の泥炭地で、シルバーライブ(直径75mm、長さ500mm)を地表面に鉛直に貢入して採取した不搅乱泥炭試料を、両端面をトリミングして直径65mm、長さ180mmに成形した円柱供試体を飽和度に留意して水中で三軸セル内にセットした。表-1に試料の物理的諸性質を示す。試料は自然含水比(w_n)が77%から95%、有機物含有率(Lig)が6%から7%であり、高含水比の纖維性高有機質土である。等方圧密過程が500kPaのバックプレッシャーを作用し、圧密圧力200kPaまで、10~50kPaの拘束圧力を約1週間で段階的に累積載荷して、供試体は正規圧密未だ。その後、図-1に示す各種の一定の軸ひずみ速度($\dot{\epsilon}$)の下で、側压(p_0)を一定に保ち、軸圧(p_0')を増減することによって非排水圧縮試験と伸張試験を実施した。間隙水圧の測定は供試体底端部で圧力変換器を用いて行なった。

3. 実験結果と考察

i) 応力へひずみへ間隙水圧挙動

各種のひずみ速度下での非排水圧縮と伸張下での応力へひずみへ間隙水圧挙動を図-2~5に示す。図-2から、泥炭の応力へひずみ関係は粘性土と同様にひずみ速度に依存していることがわかる。圧縮下では、特に、せん断速度が遅くなるに従って、軸ひずみ E_a が2%を越えても軸差応力 σ_d が漸次増加する傾向が認められ、及川¹⁾が報告したひずみ硬化型の応力へひずみ曲線を示している。伸張下では、 $E_a=5\sim10\%$ 付近にその最大値が現われ、圧縮下に比較してせん断応力が最大に発揮され、ひずみ量がかなり小さくなっている。圧縮と伸張下での挙動の相違は等方圧密後も保持される泥炭の構造異方性に依るものと考えられる。なお、図-3によ

図-4 变形係数とひずみ速度の関係

Properties		Amounts
Sampling depth (m)		0.7 ~ 1.5
Natural void ratio e_n		11.06 ~ 13.14
Natural water content w_n (%)		771 ~ 947
Specific gravity G_p		1.57 ~ 1.69
Ignition loss Lig(%)		67 ~ 79
Degree of saturation S_s (%)		100
Degree of decomposition D (%)		45 ~ 55
Total unit weight γ_u (kN/m ³)		10 ~ 13
Preconsolidation stress p_{c0}' (kPa)		10 ~ 15
Liquid limit L.L.(%)		-
Plastic limit P.L.(%)		-

表-1 不搅乱泥炭の物理的諸性質

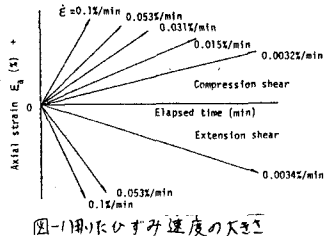


図-1 軸ひずみ速度の大きさ

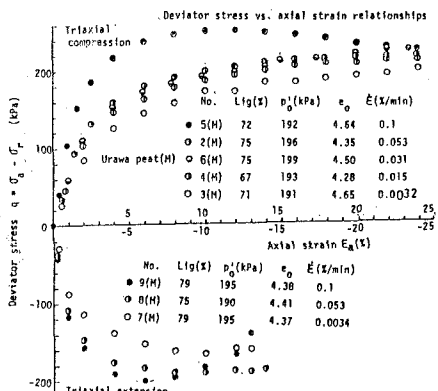


図-2 軸差応力と軸ひずみの関係

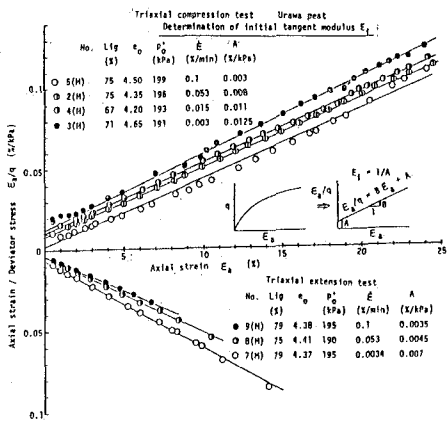


図-3 E_d/E_a と 軸ひずみ E_a の関係

すように、各種のひずみ速度での圧縮と伸張下での応力～ひずみ曲線は双曲線近似することができる。この切片(A)から求めた初期変形係数 $E_i = E_a$ と E_{so} が図-4に示してある。 E_i と E_{so} も当然ひずみ速度依存性を示し、 E_i 及び E_{so} は圧縮及び伸張両下において $\dot{\varepsilon} < 0.05\%/\text{min}$ まではほぼ平行に同じ割合で増加しているが、 $\dot{\varepsilon} > 0.05\%/\text{min}$ で圧縮下では急激な増加を示し、伸張下ではそのまま両対数紙上で直線的に増加している。このことから泥炭においては変形初期過程でのひずみ速度効果は $\dot{\varepsilon} > 0.05\%/\text{min}$ を越えると伸張下より圧縮下においてより顕著に現われると考えられる。図-5はせん断過程での発生間隙水圧(Δu)挙動を示したもので、 Δu ～ E_a 関係はひずみ速度の影響を受けることがある。特に、伸張下においてこの傾向が顕著である。この結果は、同一軸ひずみ ε_a における Δu の値はひずみ速度の影響を受けないとする粘土に関する赤井らの報告と異なっている。

ii) 有効応力経路と等ひずみ線

各種のひずみ速度下で得られた圧縮と伸張下での有効応力経路を図-6にプロットしてある。同図中には、同一軸ひずみ(ε_a)における応力状態を結んだ等ひずみ線群が互いにほぼ平行となり、それらが直角に平行な位置関係を示している。このことは、その増大に伴って間隙水圧の発生量(Δu)が少なくなることを意味している。図-7は式化しているように、ひずみ占めるせん断応力成分に起因する発生間隙水圧(Δu_d)がひずみ速度にほとんど依存しないことを意味している。このことを観たのが図-8である。同一軸ひずみ(ε_a)における Δu_d は $\dot{\varepsilon}$ の相違によってほとんど影響を受けないことがわかる。一方、伸張下では、平均主応力($p_0 = 45\text{kPa}$)の減少に伴て、 Δu_d は負となり全応力経路の右側に有効応力経路がプロットされる。(左側等ひずみ線群は圧縮の場合と異なる位置関係を示す)。図-7に示すように、同一軸ひずみにおける Δu_d 及び Δu_s は $\dot{\varepsilon}$ に依存し、ひずみ占める Δu_d は $\dot{\varepsilon}$ ほど大きくなることを意味している。すなわち、伸張下ではせん断速度が遅いほど、負の Δu_d でせん断特性に富んだせん断特性を示すと言える。

iii) 非排水強度

非排水せん断強さ σ_u のひずみ速度依存性を示したのが図-9である。ここでは、粘性土についてのクリープ強度とクリープ破壊時間との関係を整理したSheadらの手法に基づき、 σ_u と $\dot{\varepsilon}$ との関係を表示してある。 σ_u ～ $\dot{\varepsilon}$ 関係は圧縮と伸張下においてそれぞれ直線近似でき、 $\dot{\varepsilon} = 0$ に対応する泥炭の圧縮と伸張下での上限降伏値は 85kPa と 75kPa であった。また、変形初期過程と同様に破壊時ににおけるせん断応力のひずみ速度に伴う増加割合は伸張下より圧縮下において大きく、圧縮下において非排水せん断強さのひずみ速度依存性が顕著となることがわかる。

参考文献： 1) 越川洋・宮川重(1960)ぬいき泥炭の非排水せん断特性について
土質工学会論文報告集 Vol.20 No.3 P91～100

2) 山口晴幸・大平至徳・横畠敏二・森茂(1984)泥炭の非排水せん断
剛性に対する構成異方性の影響 土と基礎 Vol.32 No.11 P37～44

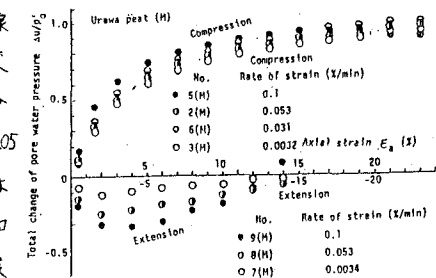


図-5 間隙水圧と伸びひずみの関係

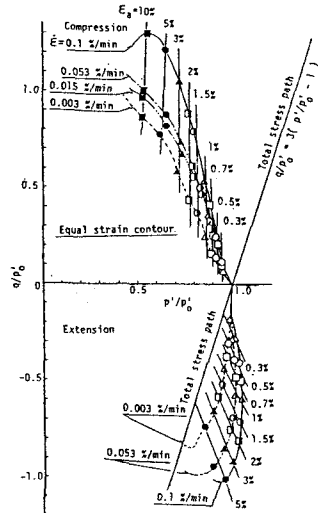
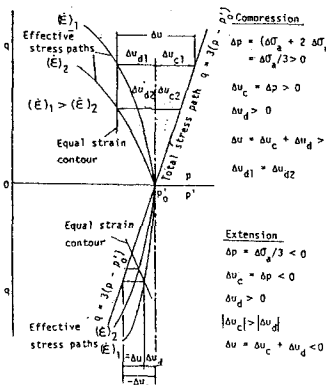


図-6 有効応力経路と等ひずみ線

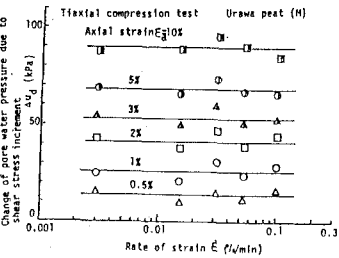


図-8 Δu_d とひずみ速度との関係

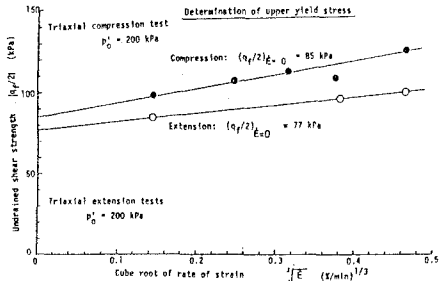


図-9 非排水せん断強さ σ_u とひずみ速度 $\dot{\varepsilon}$ との関係

- 3) 赤井治一・足立紀尚・安藤信夫(1974) 食材細工の応力～ひずみ～時間関係
土木学会論文報告集 第225号 5月 P53～61
- 4) Shead, D.E. (1970) "Creep rupture of saturated undisturbed clays" Ph.D thesis, Univ. British Columbia, Vancouver, British Columbia